

# Predicción de Estructuras Cristalinas de Interés Farmacológico vía Algoritmos Genéticos

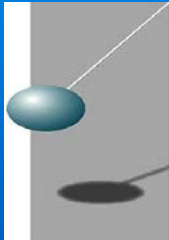
DDF 2015

6 de julio de 2015

Gabriel I. Pagola

Departamento de física, FCEN,  
UBA.

[gpagola@df.uba.ar](mailto:gpagola@df.uba.ar)



Departamento  
de física.  
FCEN-UBA



Utah, US



## Grupo de trabajo

### Predicción de estructuras cristalinas (Crystal Structure Prediction ,CSP)

**Gabriel Pagola, Marta Ferraro** Depto de Física, FCEN, UBA

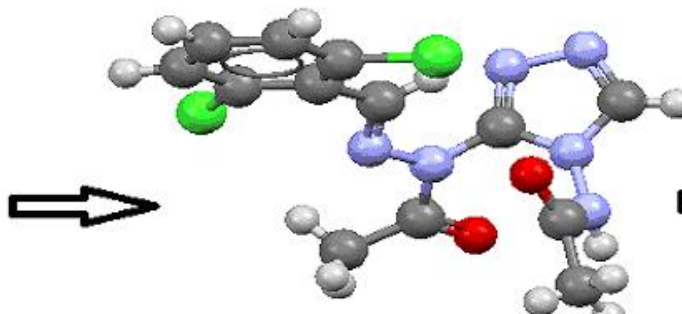
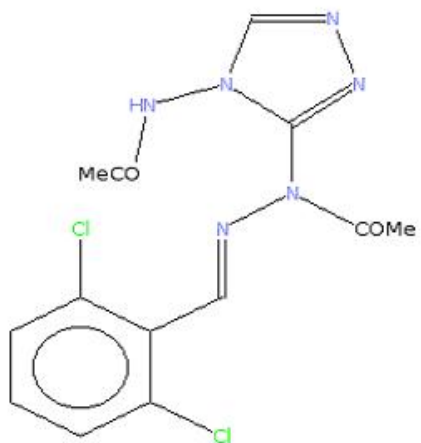
**Albert Lund**, CHPC and Department of Chemistry, UTAH

**Anita Orendt**, CHPC, UTAH

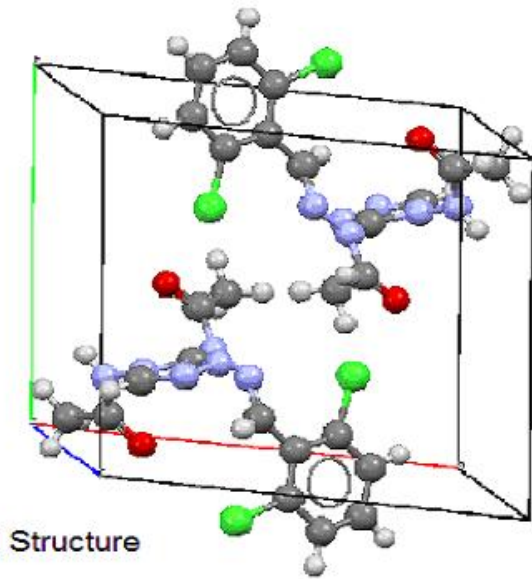
**Julio Facelli**, Department of Biomedical Informatics, UTAH

**Financiamiento:** CONICET y

Universidad de Buenos Aires



Chemical Structure



Crystal Structure

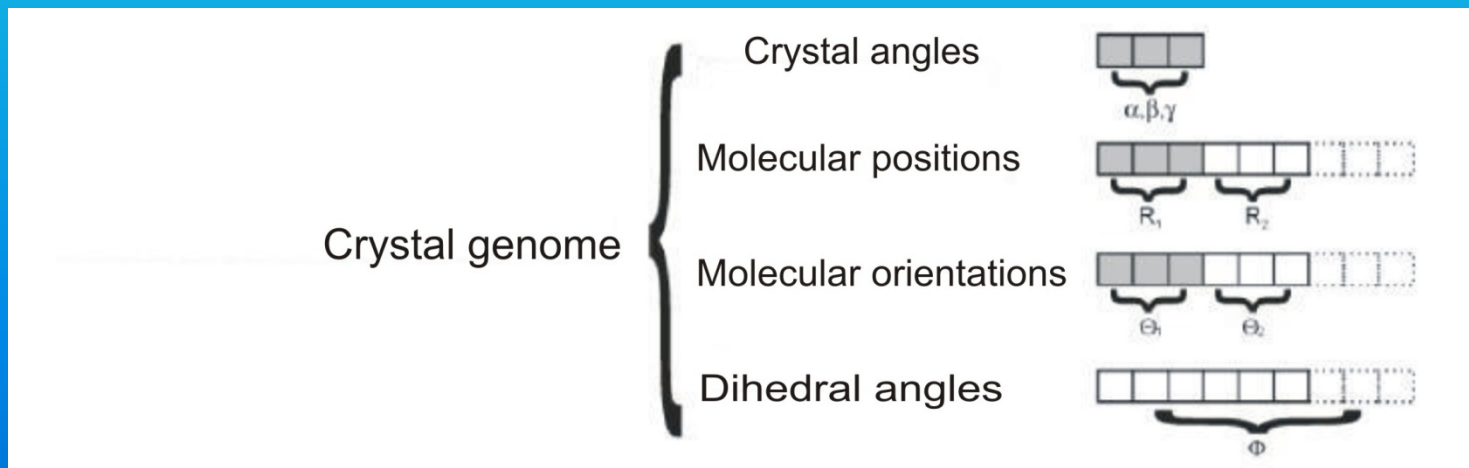
## *Proceso de Predicción de Estructuras Cristalinas*

# Por qué es importante la predicción de estructuras cristalinas

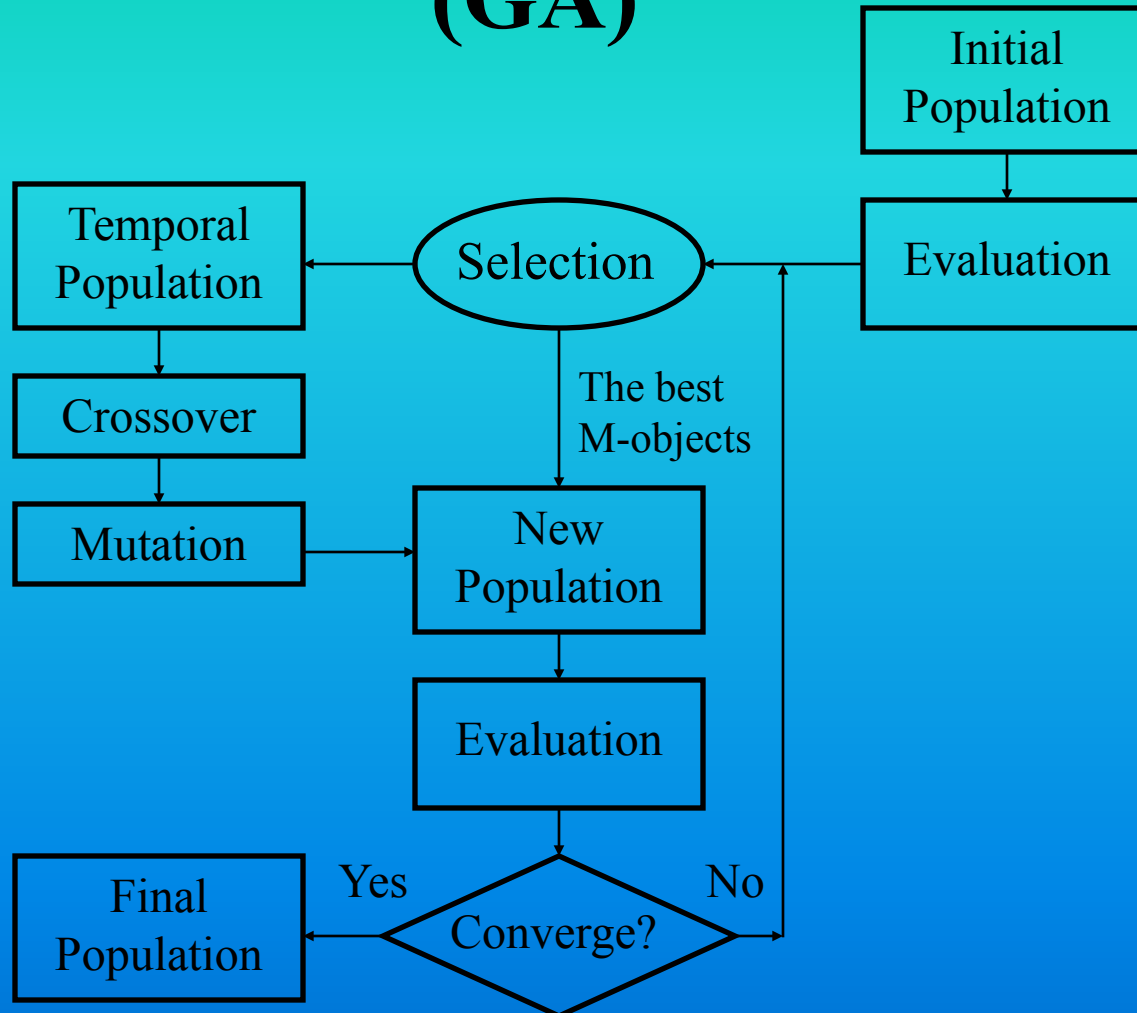
- Polimorfismo en drogas
- Diseño de Cristales
- Estudio de co-cristales
- No hay una manera “**intuitiva**” de *predecir* estructuras

# MGAC (Modified Genetic Algorithms for Crystals)

- Algoritmo elitista
- Criterio de selección de las mejores estructuras cristalinas: energía del cristal candidato
- Se optimizan un conjunto de parámetros específicos (genoma)



# Genetic Algorithms (GA)



## *Optimización local y evaluación de la energía de los candidatos*

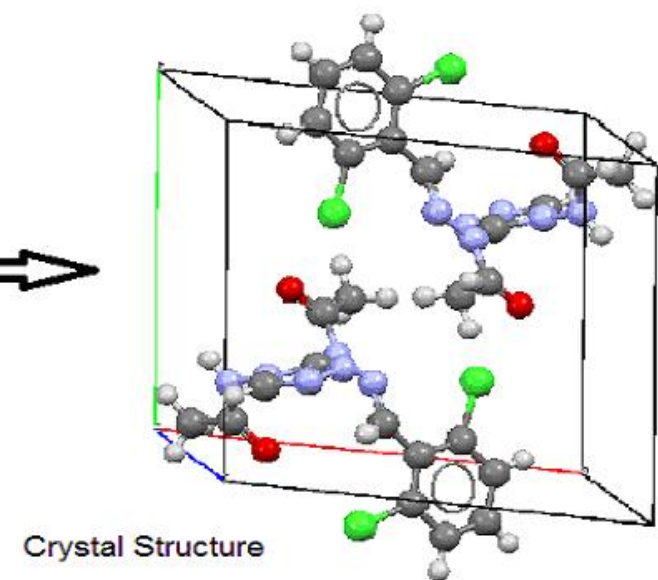
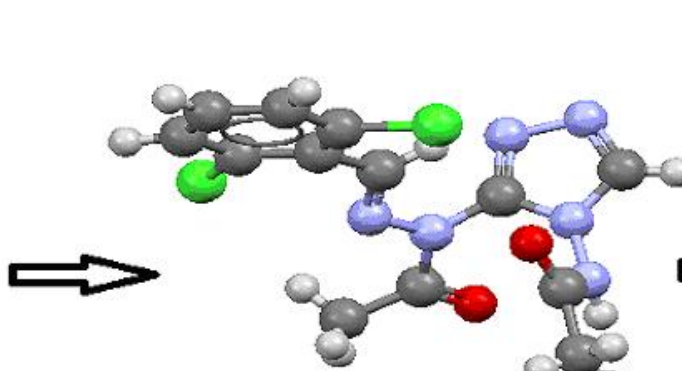
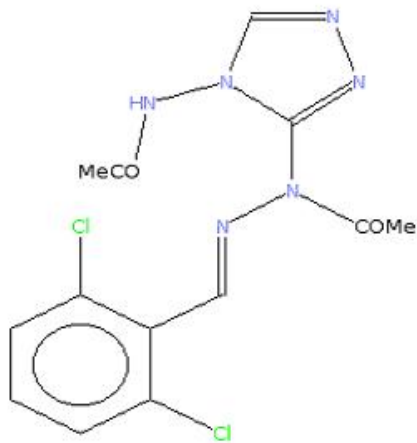
- **CHARMM** (potenciales semiempíricos denominados GAFF(1.27))
- **Quantum Espresso, QE.** (método DFT-D, Dispersion – Corrected Density Functional Theory )

### *Búsqueda de los mejores candidatos*

- **14 grupos cristalográficos más comunes** en moléculas orgánicas:
  - P1, P-1, P21, C2, P<sub>c</sub>, C<sub>c</sub>, P21/c, C2/c, P212121, Pca21, Pna21, Pbcn, Pbca, Pnma
  - **Poblaciones de 30** estructuras y **3** corridas independientes de **150 generationes**
- **Selección**
  - Se *filtran* los resultados para obtener una lista con las **300** estructuras con energía más baja.

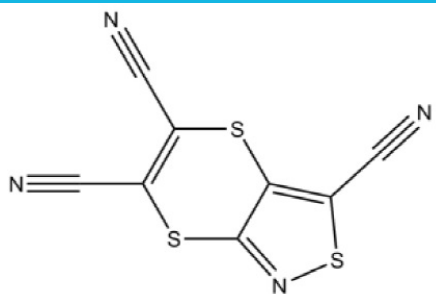
# 6th Blind Test (Cambridge Crystallographic Data Centre)

Combinación de MGAC- CHARMM con re-optimización QE posterior.



Lista de 100 candidatos (en la tabla superior, se muestran sólo los primeros 7)

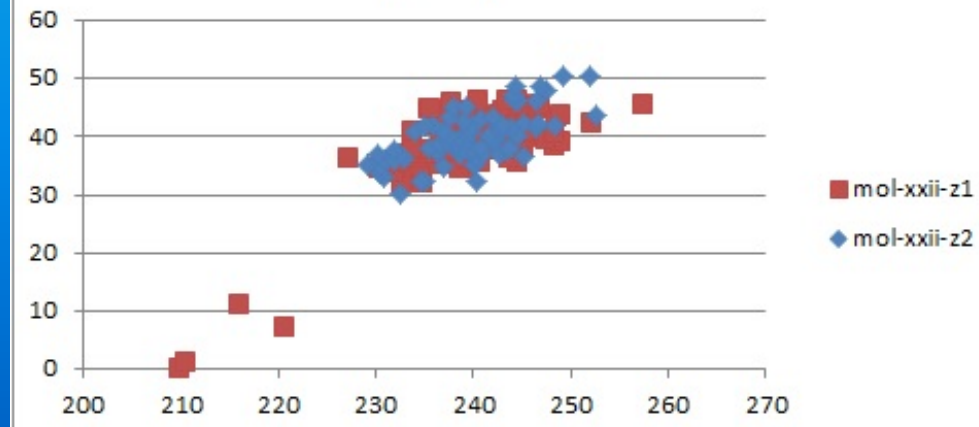
# Charmm	$\Delta E$ (kJ/mol)	vol.(A <sup>3</sup> )	Simetría	# átom.
3	0,00	463,6	'P b c a'	344
7	0,69	467,6	'P -1'	86
18	0,80	452,7	'P -1'	86
24	1,48	444,9	'P 1 21 1'	86
2	1,75	435,1	'P -1'	86
44	2,59	432,2	'P -1'	86
108	3,57	433,9	'P 1 21/c 1'	172



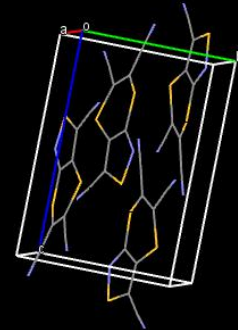
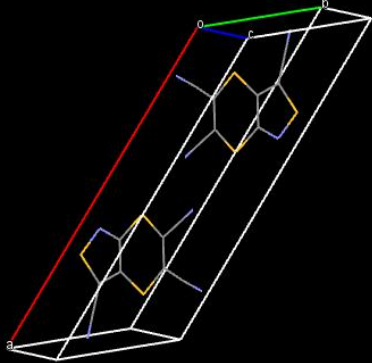
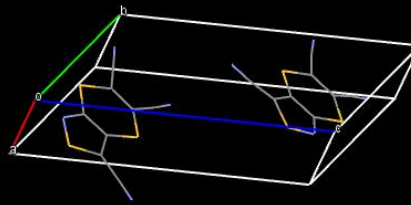
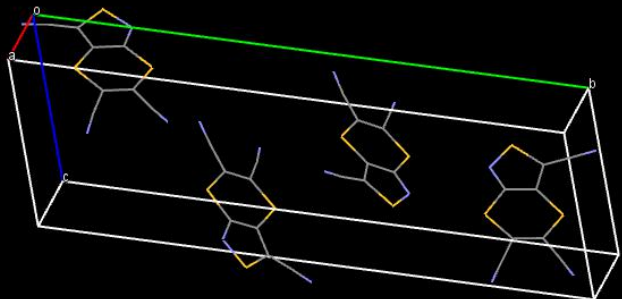
XXII

Resultados a presentar en el 6th Blind Test

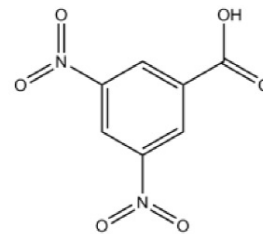
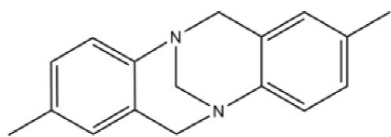
Energy QE (kJ/mol) vs specific volume (A<sup>3</sup>)



# mol-xxii: primeras 4 estructuras cristalinas candidato

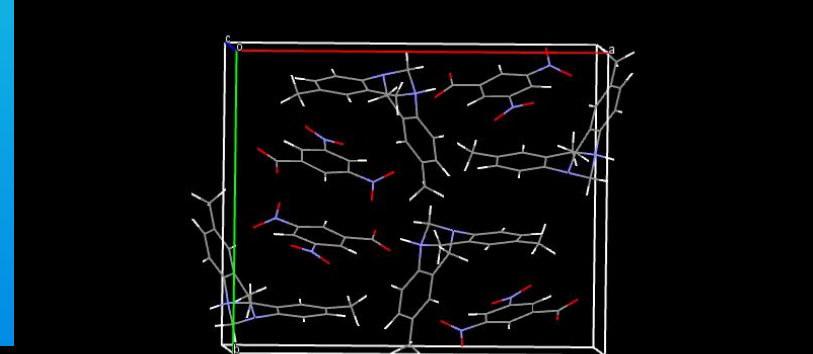
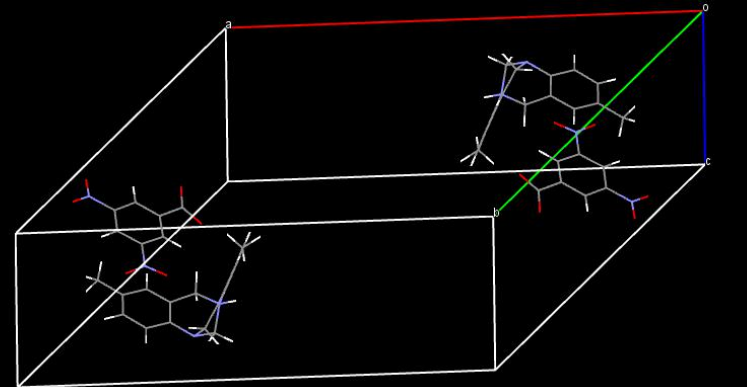
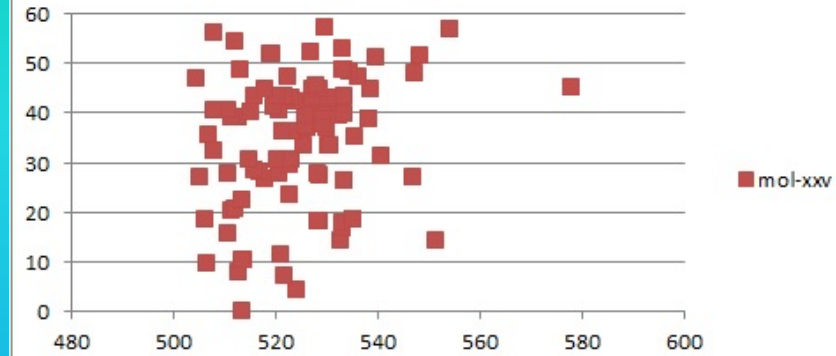


XXV

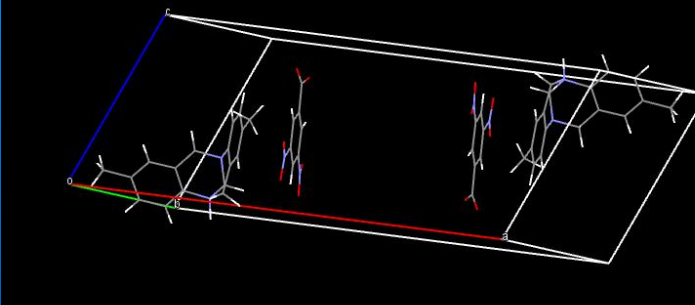


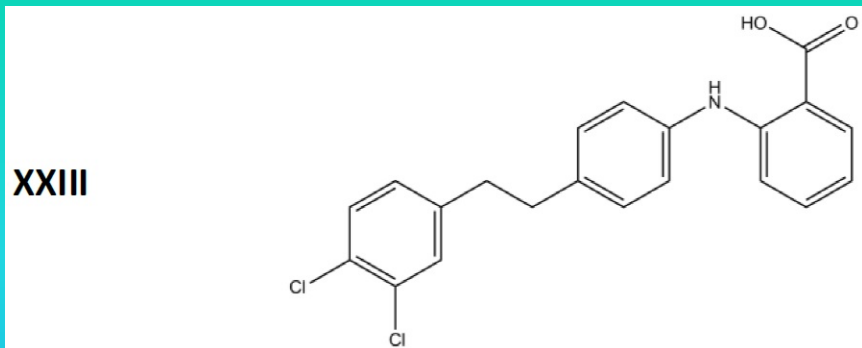
Resultados a  
presentar en el 6th  
Blind Test

Energy QE (kJ/mol) vs specific volume  
( $\text{A}^3$ )

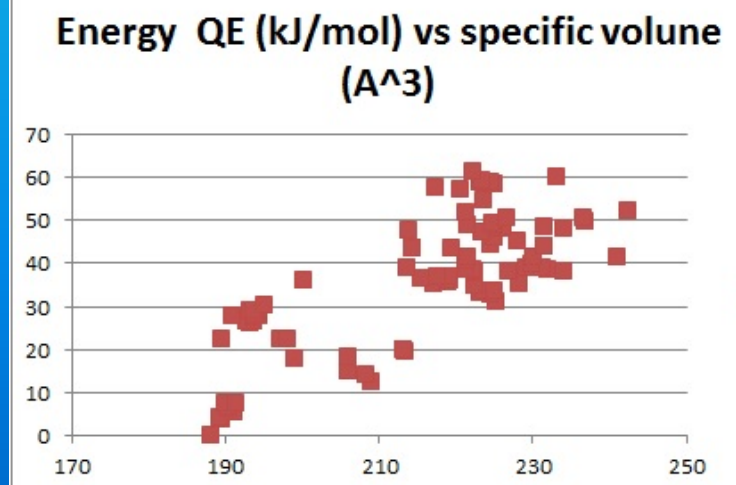
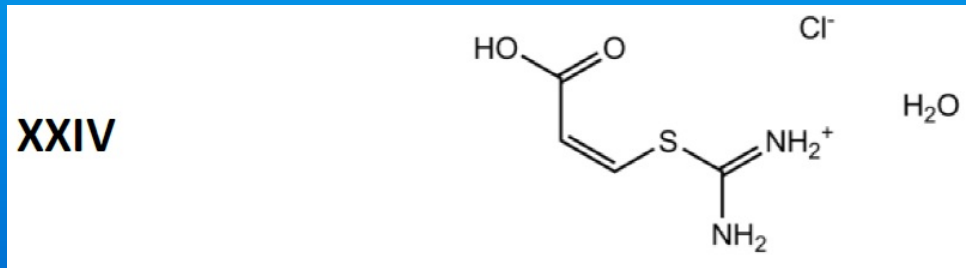
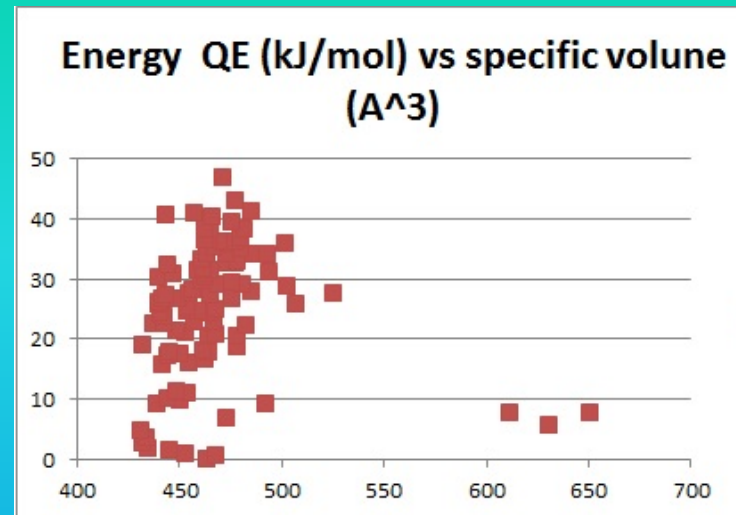


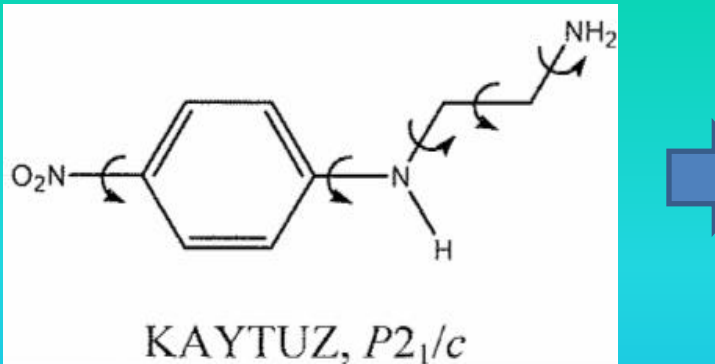
mol-xxv: primeras 3  
estructuras cristalinas  
candidato



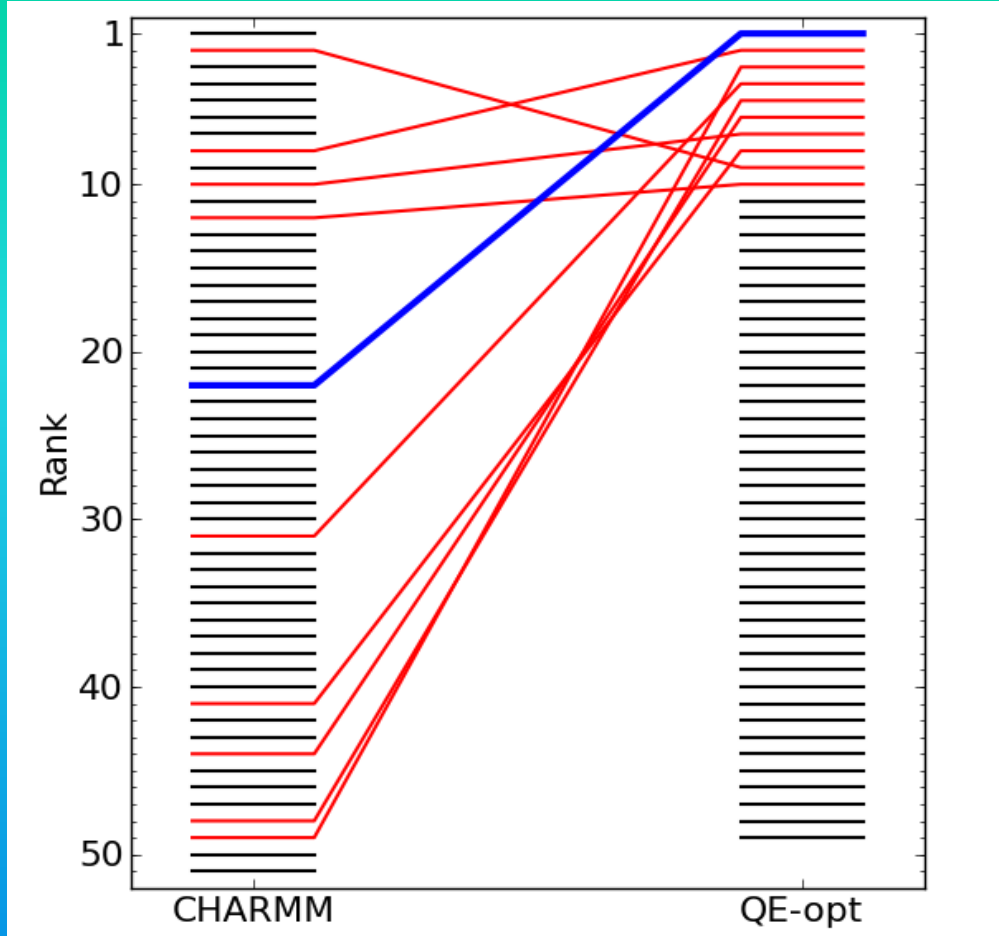


Resultados a  
presentar en el 6th  
Blind Test





KAYTUZ: columna izquierda,  
ranking de energías obtenida  
con MGAC/CHARMM  
(potenciales semi-empíricos)



columna derecha, se muestra el reordenamiento que se produce  
QE al re-optimizar cada estructura con QE (DFT-D)

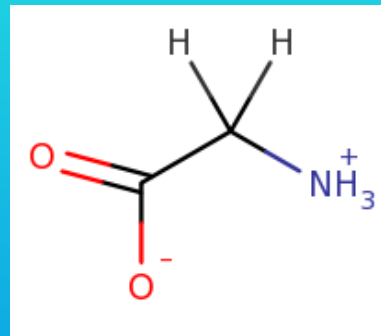
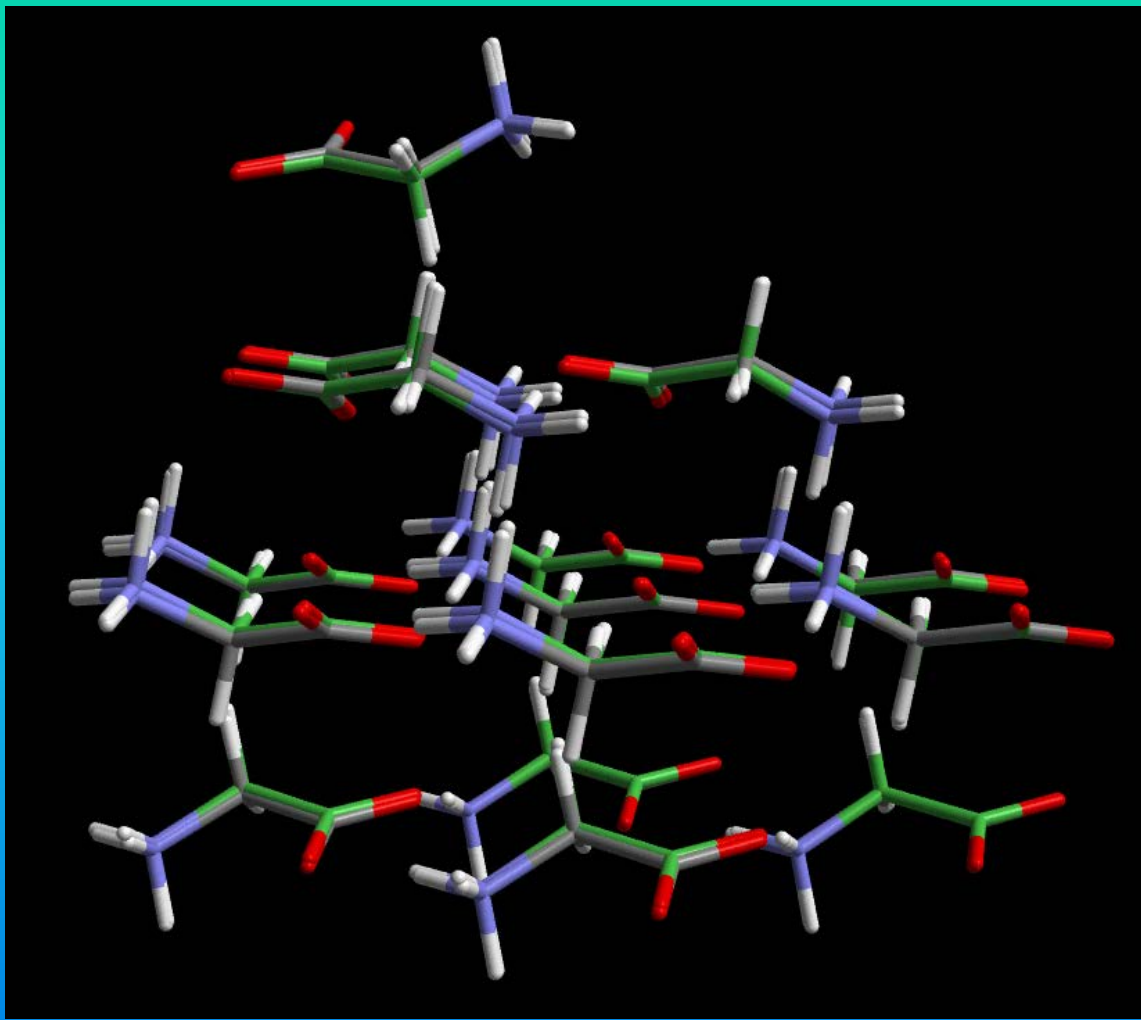
Lund AM, Orendt AM, Pagola GI, Ferraro MB, Facelli JC (2013).  
*Cryst Growth Des*, 13(5), 2181-2189

# MGAC-QE resultados para glicina

- MGAC con evaluación de energía (y optimización local) con QE
- alto costo en tiempos computacionales (inaplicable por ahora para el Blind Test):

**CHARMM: horas QE: 1 mes (predicción completa)**

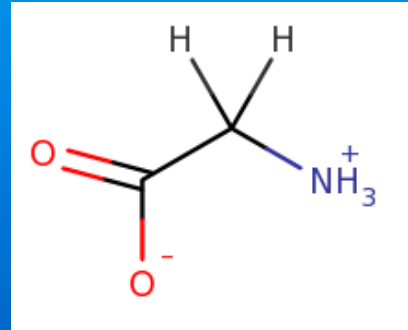
“Crystal structure prediction from first principles: The crystal structures of glycine”; A.M. Lund, G.I. Pagola, A.M Orendt, M.B. Ferraro, J.C. Facelli; Chemical Physics Letters **626**, (2015), pp 20-24



- ALPHA glycine, MGAC-QE. Generation 12, Rank 1, Rms = 0.094, Energy = -35292.11 kcal/mol (expected -35292.09). Generation count is low because there are four molecules in the unit cell. Experimental structure is displayed in gray.



**BETA glycine, MGAC5-QE Generation 51,**  
**rank 1, rms = 0.118,**  
Energy = -35291.52  
kcal/mol (expected -  
35291.54), the  
experimental structure  
is the **gray** one.



**FIN**